

赵 森, 邓力华, 陈 芬. 不同植物 *FERONIA* 基因密码子使用偏好性分析[ J ]. 江苏农业学报, 2020, 36( 5 ): 1073-1081.  
doi: 10.3969/j.issn.1000-4440.2020.05.001

## 不同植物 *FERONIA* 基因密码子使用偏好性分析

赵 森<sup>1</sup>, 邓力华<sup>2</sup>, 陈 芬<sup>1</sup>

(1. 北部湾大学/广西北部湾海洋生物多样性养护重点实验室, 广西 钦州 535011; 2. 中国科学院亚热带农业生态研究所/亚热带农业生态过程重点实验室, 湖南 长沙 410125)

**摘要:** 为了了解植物 *FERONIA*(*FER*) 基因在长期进化过程中所形成的密码子使用模式及它们之间的亲缘关系, 采用 Codon W、CUSP 在线程序和 SPSS 等分析软件对不同植物的 *FER* 基因密码子进行碱基组成分析、对应性分析、PR2-Plot 分析、中性绘图分析和 *ENC*-Plot 分析并进行聚类分析。结果表明, 单子叶植物 *FER* 基因密码子的平均 G+C 含量高于双子叶植物, 且单子叶植物偏好使用以 G/C 结尾的密码子, 而双子叶植物偏好使用以 A/T 结尾的密码子。对应性分析结果显示, 在单子叶植物、双子叶植物中, 向量轴 1 (Axis 1) 可解释的变异分别占总变异的 42.25%、28.56%。在单子叶植物中, Axis 1 与总 G+C 含量、GC3 含量、G3 含量、C3 含量呈极显著正相关 ( $P < 0.01$ ), 而在双子叶植物中则呈极显著负相关 ( $P < 0.01$ )。不同的碱基组成是单子叶植物和双子叶植物形成密码子使用偏好性的重要原因。PR2-Plot 分析结果、中性绘图结果和 *ENC*-Plot 分析结果表明, 自然选择是形成植物 *FER* 基因密码子使用偏好性的主要驱动力。基于编码序列 (Coding sequence, CDS) 构建的系统进化树比基于同义密码子相对使用度 (*RSCU*) 得出的聚类分析结果更接近传统的分类结果。本研究结果可为进一步开展植物分子进化和基因工程研究奠定基础。

**关键词:** *FERONIA* 基因; 密码子使用偏好性; 分子进化

**中图分类号:** Q754; Q755      **文献标识码:** A      **文章编号:** 1000-4440(2020)05-1073-09

## Analysis on codon usage preference of *FERONIA* genes in different plants

ZHAO Sen<sup>1</sup>, DENG Li-hua<sup>2</sup>, CHEN Fen<sup>1</sup>

(1. Beibu Gulf University/Key Laboratory of Marine Biodiversity Conservation in Beibu Gulf of Guangxi, Qinzhou 535011, China; 2. Institute of Subtropical Agriculture, Chinese Academy of Sciences/Key Laboratory of Agro-Ecological Processes in Subtropical Region, Changsha 410125, China)

**Abstract:** To understand the usage pattern of codons formed in the long-term evolutionary process of *FERONIA* (*FER*) genes in plants and their genetic relationships, base composition analysis, correspondence analysis, PR2-Plot analysis, neutral plotting analysis and *ENC*-Plot analysis on *FER* gene codons of different plants were conducted by using Codon W, on line program of CUSP and analysis software like SPSS, and the cluster analysis was conducted. The results showed that the average content of G and C in *FER* gene codons of monocots was higher than that of dicots, and the monocots preferred G/C ending codons while dicots preferred A/T ending codons. The results of correspondence analysis showed that, Axis 1 accounted for 42.25% and 28.56% of the total variation in monocots and dicots respectively. Axis 1 presented significantly positive correlation ( $P < 0.01$ ) with contents of total G+C, GC3, G3 and C3 in monocots, while in dicots the correlation between Axis 1 and contents of total G+C, GC3, G3, C3 was significantly negative respectively. Different nucleotide composition is the important reason in the formation of codon usage preference in monocots and dicots. Results of PR2-Plot analysis, neutral plotting analysis as well as *ENC*-Plot analysis showed that, natural selection was the main driving force in the forming of codon usage preference of *FER* genes in plants. Phylogenetic tree constructed by coding sequence (CDS) was more similar with traditional classification results than the phylogenetic tree constructed by relative synonymous codon usage

收稿日期: 2020-04-14

基金项目: 广西高校中青年教师基础能力提升项目 (KY2016YB496); 广西北部湾海洋生物多样性养护重点实验室项目 (2019ZB01)

作者简介: 赵 森 (1982-), 男, 山东临沂人, 博士, 讲师, 主要从事植物分子遗传学研究。(E-mail) zhaosen@bbgu.edu.cn

phylogenetic tree constructed by relative synonymous codon usage

(RSCU). The results can lay foundation for further research on molecular evolution and gene engineering.

**Key words:** *FERONIA* gene; codon usage preference; molecular evolution

根据中心法则,遗传信息流的方向是从 DNA 经 RNA 到蛋白质,密码子则是生物体内核酸信息和蛋白质信息相互沟通的桥梁。构成生物体的氨基酸约有 20 种,而密码子却有 64 种,这就存在一个氨基酸由多个不同密码子编码的现象(甲硫氨酸、色氨酸除外)。编码同一氨基酸的不同密码子称为同义密码子,而同义密码子并不是被随机使用的,这种同义密码子不能被均等使用的现象称为密码子使用偏好性<sup>[1]</sup>。密码子使用偏好性在自然界普遍存在,可以通过影响 RNA 加工、蛋白质翻译和蛋白质折叠等生命过程来调节基因表达,进而改变细胞功能<sup>[2]</sup>。在长期的进化过程中,每个物种都形成了其独特的密码子使用模式。一般来说,同一物种对基因密码子的使用偏好性较为一致,并且物种的亲缘关系越近,密码子的使用偏好性越一致,而功能越相似的基因,其密码子的使用偏好性越趋于一致<sup>[3]</sup>。关于密码子使用偏好性假说主要有中性理论和选择-突变-漂变理论<sup>[4-7]</sup>。有研究结果显示,密码子使用偏好性受碱基组成、碱基突变、自然选择、tRNA 丰度、基因表达水平、基因长度等因素影响<sup>[8-12]</sup>。通过对特定物种或基因进行密码子使用偏好性分析,有望为基因结构、基因表达、环境适应和分子进化分析等研究提供帮助。

*FERONIA*(*FER*)基因是植物类受体蛋白激酶基因(*RLK*)家族的一员,在庞大的 *RLK* 家族中,*FER* 基因又归属于植物特有的 *crRLK* 基因家族。*FER* 蛋白编码区只在 5'-UTR(非翻译区)有 1 个短的内含子,在其他位置没有内含子。*FER* 蛋白是一种膜受体蛋白,具有明显的 4 个结构域,即胞外 N 端的信号肽、2 个重复的 Malectin-like 结构域、中间的跨膜结构域和胞内的丝氨酸/苏氨酸激酶结构域<sup>[13]</sup>。*FER* 蛋白最早是在拟南芥花粉管与助细胞的识别过程中被人们认识的,*FER* 蛋白在胚珠助细胞的丝状器上极性表达,当花粉管进入 *FER* 基因突变的胚珠后,花粉管顶端并不破裂而是在胚珠内部继续生长,从而无法完成受精过程<sup>[13-15]</sup>。*FER* 蛋白作为正调节因子,可直接激活 *ABI2* 的磷酸酶活性,从而负调节植物对 ABA 的响应<sup>[16]</sup>。有研究发现,*FER* 蛋白能促进拟南芥根和叶片细胞的伸长<sup>[17-18]</sup>,而在种子发育过程中则通过抑制细胞伸长来控制种子大

小<sup>[19]</sup>。此外,*FER* 蛋白还参与了  $Ca^{2+}$  的信号转导及植物抗病免疫<sup>[20-21]</sup>。越来越多的研究表明,*FER* 蛋白在植物生长发育、应对环境胁迫及抗病免疫等过程中发挥着重要作用。目前,除了拟南芥中的 *FER* 基因结构和功能已经得到深入研究外,关于花生<sup>[22]</sup>、橡胶<sup>[23]</sup>等物种的相关研究正在开展。鉴于 *FER* 基因对植物的重要作用,本研究拟通过分析植物 *FER* 基因密码子的碱基组成和使用偏好性,为深入研究 *FER* 基因的功能奠定基础,同时使人们更好地理解基因的水平转移和家族分化情况<sup>[24]</sup>。

## 1 材料与方法

### 1.1 数据来源

本研究选用的 47 种植物的 *FER* 基因序列全部来自 GenBank 数据库(<https://www.ncbi.nlm.nih.gov/nucleotide/>),其中 9 种来自单子叶植物,38 种来自双子叶植物。所有 *FER* 基因的编码序列(CDS)长度均大于 300 bp,均以 ATG 为起始密码子,以 TAA、TAG、TGA 为终止密码子。

### 1.2 分析方法

从 GenBank 数据库中下载 47 种植物 *FER* 基因的 CDS,参照 Mazumdar 等<sup>[7]</sup>的方法,使用 Codon W 1.4.2 软件和 CUSP 在线程序(<http://www.bioinformatics.nl/emboss-explorer/>)计算 CDS 密码子第 3 位碱基(A3、T3、C3 和 G3)含量、密码子第 1 位的 G+C(GC1)含量、第 2 位的 G+C(GC2)含量和第 3 位的 G+C(GC3)含量、有效密码子数(*ENC*)、同义密码子相对使用度(*RSCU*)和密码子适应指数(*CAI*)等参数。用 Excel 2016 对数据进行整理和作图,用 SPSS 22 对各相关参数进行相关性分析,用 Codon W 1.4.2 进行对应性分析。采用邻接法(Neighbor-joining, NJ),通过 MEGA 5 对所有 CDS 构建系统进化树,并通过自举法(Bootstrap method = 1 000)进行校正。用 SPSS 22 对所有 *FER* 基因序列的 *RSCU* 进行系统聚类分析。

## 2 结果与分析

### 2.1 植物中 *FER* 基因密码子使用偏好性相关参数比较

从表 1 可以看出,在单子叶植物中,*FER* 基因的

*ENC* 均值为 51.70, 有 7 种单子叶植物 *FER* 基因的 *ENC* 大于 50.00, 说明这些单子叶植物的密码子使用偏好性较弱; 在双子叶植物中, *FER* 基因的 *ENC* 为 50.93~59.05, *ENC* 均值大于单子叶植物, 为 54.79, 说明其对密码子的使用偏好性比单子叶植物弱。此外, 单子叶植物、双子叶植物 *FER* 基因的 *CAI* 均值都较低, 分别为 0.243、0.220, 这也进一步说明, 在 2 种类型的植物中, *FER* 基因对密码子的使用偏好性均较弱。

从表 1 还可以看出, 在单子叶植物中, *FER* 基因密码子的总 G+C (总 GC) 含量为 47.33%~58.57%, 平均为 54.81%, 而在双子叶植物中, *FER* 基因密码子的总 GC 含量为 40.37%~55.70%, 平均为 45.39%。由此可见, 单子叶植物中 *FER* 基因密码子的 GC 含量高

于双子叶植物中 *FER* 基因密码子的 GC 含量, 且二者间差异极显著 ( $t=7.753, P<0.01$ )。t 检验结果显示, 单子叶植物 *FER* 基因密码子的 GC3 含量均值 (64.91%) 与双子叶植物 *FER* 基因密码子的 GC3 含量均值 (45.82%) 间差异极显著 ( $t=6.598, P<0.01$ )。值得注意的是, 除谷子外, 其他单子叶植物 *FER* 基因密码子的总 GC 含量、GC3 含量均高于 50.00%, 而在双子叶植物中, *FER* 基因密码子的总 GC 含量高于 50.00% 的只有大桉、石榴。可以看出, 单子叶植物中 *FER* 基因密码子的总 GC 含量、GC3 含量整体上显著高于双子叶植物, 单子叶植物 *FER* 基因偏好使用以 G/C 结尾的密码子, 而双子叶植物 *FER* 基因偏好使用以 A/T 结尾的密码子。

表 1 不同植物 *FER* 基因密码子的使用偏好性相关参数

Table 1 Codon usage bias related parameters for *FER* genes in different plants

类别	物 种	GenBank 登录号	GC 含量(%)				<i>CAI</i>	<i>ENC</i>
			GC1	GC2	GC3	总 GC		
单子叶植物	凤梨 ( <i>Ananas comosus</i> )	XM_020247133.1	51.56	44.54	61.92	52.67	0.224	53.51
	小果野蕉 ( <i>Musa acuminata</i> )	XM_009414374.2	54.72	44.61	76.07	58.46	0.244	44.90
	节节麦 ( <i>Aegilops tauschii</i> )	XM_020295075.1	58.28	46.25	68.98	57.84	0.237	50.32
	二穗短柄草 ( <i>Brachypodium distachyon</i> )	XM_003557928.4	56.40	45.49	64.96	55.62	0.238	54.05
	水稻 ( <i>Oryza sativa</i> )	XM_015784639.2	51.36	45.35	56.58	51.10	0.230	55.53
	<i>Panicum hallii</i>	XM_025937660.1	55.38	44.73	68.50	56.20	0.266	50.32
	谷子 ( <i>Setaria italica</i> )	XM_004962408.3	52.41	42.76	46.82	47.33	0.226	57.71
	高粱 ( <i>Sorghum 'Bicolor'</i> )	XM_002467870.2	55.47	44.64	66.29	55.47	0.277	51.49
	玉米 ( <i>Zea mays</i> )	XM_020548100.1	54.01	47.66	74.05	58.57	0.244	47.47
双子叶植物	花生 ( <i>Arachis hypogaea</i> )	XM_025825030.2	48.73	42.08	57.14	49.32	0.252	56.55
	鹰嘴豆 ( <i>Cicer arietinum</i> )	XM_004507247.3	46.55	39.10	40.42	42.02	0.214	53.51
	大豆 ( <i>Glycine max</i> )	NM_001251502.2	49.82	39.41	56.09	48.44	0.234	59.05
	蒺藜苜蓿 ( <i>Medicago truncatula</i> )	XM_013593812.2	50.11	43.67	38.44	44.07	0.244	51.18
	绿豆 ( <i>Vigna radiate</i> )	XM_014641397.2	50.57	38.16	51.61	46.78	0.233	55.95
	甜菜 ( <i>Beta vulgaris</i> )	XM_010685152.2	51.02	43.20	43.65	45.96	0.247	54.05
	菠菜 ( <i>Spinacia oleracea</i> )	XM_021983369.1	47.90	42.05	40.62	43.52	0.190	56.21
	拟南芥 ( <i>Arabidopsis thaliana</i> )	NM_115014.5	49.89	43.64	41.96	45.16	0.234	53.11
	甘蓝 ( <i>Brassica oleracea</i> )	EF681131.1	52.46	43.86	48.33	48.21	0.243	50.93
	芜菁 ( <i>Brassica rapa</i> )	XM_018655160.1	52.22	43.67	48.56	48.15	0.240	51.16
	向日葵 ( <i>Helianthus annuus</i> )	XM_022161861.1	47.07	39.59	45.20	43.95	0.211	56.12
	莴苣 ( <i>Lactuca sativa</i> )	XM_023886199.1	48.00	40.78	43.41	44.06	0.210	57.51
	橡胶树 ( <i>Hevea brasiliensis</i> )	XM_021803911.1	45.86	40.68	39.48	42.01	0.199	53.46
	麻风树 ( <i>Jatropha curcas</i> )	XM_012228958.2	46.41	39.67	36.69	40.92	0.210	54.98
	木薯 ( <i>Manihot esculenta</i> )	XM_021766937.1	51.34	43.85	38.93	44.71	0.215	52.32

续表 1 Continued 1

类别	物种	GenBank 登录号	GC 含量(%)				CAI	ENC
			GC1	GC2	GC3	总 GC		
	蓖麻( <i>Ricinus communis</i> )	XM_002518284.3	47.12	38.13	35.85	40.37	0.200	51.91
	野草莓( <i>Fragaria vesca</i> )	XM_004306014.2	47.83	40.70	45.29	44.61	0.217	56.36
	苹果( <i>Malus domestica</i> )	XM_029097897.1	50.38	44.32	53.19	49.30	0.220	56.53
	欧洲甜樱桃( <i>Prunus avium</i> )	XM_021947486.1	48.50	40.04	50.50	46.35	0.227	57.86
	桃( <i>Prunus persica</i> )	XM_007216990.2	47.12	40.07	49.95	45.71	0.225	58.57
	辣椒( <i>Capiscum annuum</i> )	XM_016694071.1	48.70	39.83	40.67	43.07	0.217	53.84
	烟草( <i>Nicotiana tabacum</i> )	XM_016638275.1	51.74	42.52	39.82	44.69	0.240	52.05
	番茄( <i>Solanum lycopersicum</i> )	XM_019212121.2	45.45	38.77	37.47	40.56	0.197	52.85
	马铃薯( <i>Solanum tuberosum</i> )	XM_006354911.2	46.59	39.43	37.88	41.30	0.195	52.81
	雷蒙德氏棉( <i>Gossypium raimondii</i> )	XM_012610426.1	44.95	36.33	47.41	42.90	0.230	57.37
	可可( <i>Theobroma cacao</i> )	XM_007032746.2	47.75	41.38	42.70	43.94	0.210	56.08
	无油樟( <i>Amborella trichopoda</i> )	XM_020666081.1	50.67	43.89	44.89	46.48	0.185	55.09
	茶( <i>Camellia sinensis</i> )	XM_028254649.1	49.26	41.98	57.68	49.64	0.216	56.38
	番木瓜( <i>Carica papaya</i> )	XM_022049523.1	47.27	40.66	50.91	46.28	0.233	57.32
	甜橙( <i>Citrus sinensis</i> )	XM_006481158.3	50.78	42.19	37.95	43.64	0.201	52.84
	<i>Erythranthe guttatus</i>	XM_012996321.1	47.92	41.63	47.41	45.65	0.188	55.20
	大桉( <i>Eucalyptus grandis</i> )	XM_018864361.1	53.36	44.00	69.75	55.70	0.250	50.94
	罂粟( <i>Papaver somniferum</i> )	XM_026532955.1	47.91	43.84	43.30	45.02	0.241	54.89
	石榴( <i>Punica granatum</i> )	XM_031541020.1	51.79	43.50	60.09	51.79	0.246	54.36
	木犀榄( <i>Olea europaea</i> )	XM_023031367.1	48.98	41.84	39.91	43.58	0.208	54.46
	毛果杨( <i>Populus trichocarpa</i> )	XM_024588918.1	48.72	41.73	44.51	44.99	0.219	57.76
	葡萄( <i>Vitis vinifera</i> )	XM_002279182.4	49.90	43.42	41.40	44.91	0.220	52.85
	枣( <i>Ziziphus jujuba</i> )	XM_016014399.2	48.62	40.99	51.93	47.18	0.212	57.55

CAI 为基因密码子适应指数;ENC 为有效密码子数;GC1 为基因密码子第 1 位的 G+C;GC2 为基因密码子第 2 位的 G+C;GC3 为基因密码子第 3 位的 G+C;总 GC 为基因密码子总的 G+C。

## 2.2 植物 FER 基因密码子使用偏好性的对应性分析

基于 RSCU 的对应性分析结果显示,在单子叶植物中,前 4 个向量轴可解释的变异分别占总变异的 42.25%、18.60%、15.35%和 9.54%,累计可解释总变异的 85.74%,其中 Axis 1(向量轴 1)的值大于其他向量轴,Axis 1 对单子叶植物 FER 基因密码子偏好性的影响最大。在双子叶植物中,前 4 个向量轴可解释的变异分别占总变异的 28.56%、11.93%、8.94%和 8.15%,累计可解释总变异的 57.58%,其中 Axis 1 也是影响双子叶植物密码子使用偏好性的主要因素。由表 2 可以看出,在单子叶植物中,Axis 1 与 C3、G3、GC3、总 GC 含量的相关系数分别为 0.922、0.976、0.988、0.988,呈正相关且都达到极显

著水平,但 Axis 1 与 T3、A3 含量和 ENC 的相关系数分别为-0.907、-0.982和-0.901,呈负相关且达到极显著水平。在双子叶植物中,Axis 1 与 T3、A3 含量的相关系数分别为 0.866、0.660,呈正相关且均达到极显著水平,然而 Axis 1 与 C3、G3、GC3、总 GC 含量和 CAI 的相关系数分别为-0.942、-0.813、-0.989、-0.907和-0.481,呈负相关且达到极显著水平。由以上结果可以看出,碱基组成是植物 FER 基因密码子使用偏好性形成的主要因素,但是在单子叶植物和双子叶植物中,影响密码子使用偏好性的碱基组成不同。由图 1 可以看出,单子叶植物和双子叶植物在坐标系内的位置分布趋于一致,表明影响单子叶植物和双子叶植物 FER 基因密码子使用偏好性的因素可能是相同的。

表 2 向量轴 1 (Axis 1) 与其他参数的相关性

Table 2 Correlation between Axis 1 and other parameters

参数	相关系数	
	单子叶植物向量轴 1 (Axis 1)	双子叶植物向量轴 1 (Axis 1)
T3 含量	-0.907 **	0.866 **
C3 含量	0.922 **	-0.942 **
A3 含量	-0.982 **	0.660 **
G3 含量	0.976 **	-0.813 **
CAI	0.531	-0.481 **
ENC	-0.901 **	-0.361 *
总 GC 含量	0.988 **	-0.907 **
GC12 含量	0.758 *	-0.299
GC3 含量	0.988 **	-0.989 **

\*\* 表示在 0.01 水平极显著相关; \* 表示在 0.05 水平显著相关。T3 表示基因密码子第 3 位的 T; C3 表示基因密码子第 3 位的 C; A3 表示基因密码子第 3 位的 A; G3 表示基因密码子第 3 位的 G; CAI 表示基因密码子适应指数; ENC 表示有效密码子数; 总 GC 表示基因密码子总 G+C; GC12 表示基因密码子第 1 位 GC 和第 2 位 GC 的平均; GC3 表示基因密码子第 3 位的 G+C。

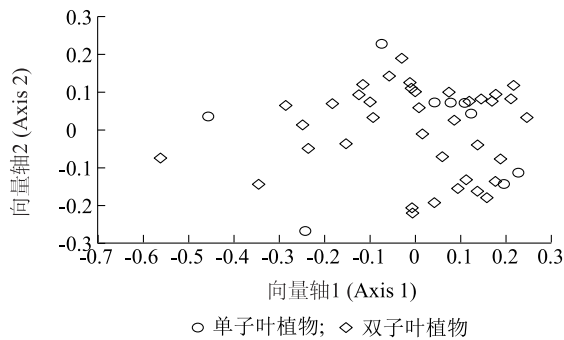
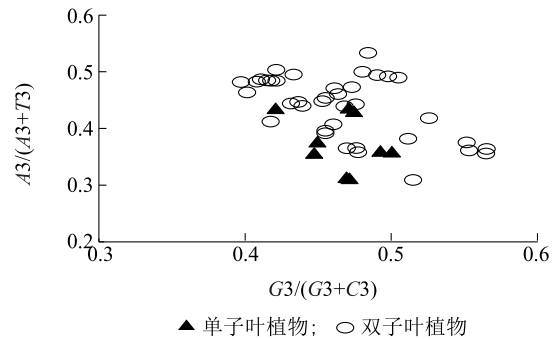


图 1 基于 RSCU 的对应性分析

Fig.1 Correspondence analysis based on relative synonymous codon usage (RSCU) value

2.3 植物中 *FER* 基因密码子使用偏好性的 PR2-plot 分析

由图 2 *FER* 基因的 PR2-plot 分析结果看出,多数植物 *FER* 基因的  $G3/(G3+C3)$  或  $A3/(A3+T3)$  都偏离中心值 0.5, 当  $G3/(G3+C3)$  或  $A3/(A3+T3)$  不等于 0.5 时, 表明碱基突变和自然选择在 *FER* 基因密码子使用偏好性形成过程中的作用不对等。由图 2 还可以看出, 大部分 *FER* 基因分布在  $G3/(G3+C3) < 0.5$  的左侧区域, 说明植物中 *FER* 基因偏好使用以 C 结尾的密码子; 绝大部分 *FER* 基因分布在  $A3/(A3+T3) < 0.5$  的下侧区域, 说明植物中 *FER* 基因偏好使用以 T 结尾的密码子。综上可知, 植物 *FER* 基因密码子在第 3 位使用嘧啶多于嘌呤。



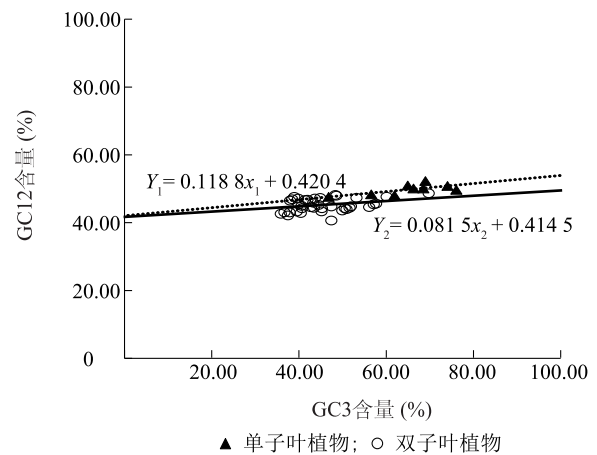
A3: 基因密码子第 3 位的 A 含量; T3: 基因密码子第 3 位的 T 含量; G3: 基因密码子第 3 位的 G 含量; C3: 基因密码子第 3 位的 C 含量。

图 2 *FER* 基因密码子使用偏好性的 PR2-plot 分析

Fig.2 PR2-plot analysis on codon usage in *FER* genes

2.4 植物中 *FER* 基因密码子使用偏好性的中性绘图分析

相关性分析结果显示, 在单子叶植物和双子叶植物中, GC3 与 GC12 的相关系数分别为 0.699 和 0.321, 且都呈显著正相关 ( $P < 0.05$ )。由图 3 可以看出, 在单子叶植物中, GC3 与 GC12 的回归系数为 0.1188, 说明突变压力造成的效应只占 11.88%; 在双子叶植物中, GC3 与 GC12 的回归系数为 0.0815, 说明突变压力造成的效应只占 8.15%。由此可以看出, 突变在 *FER* 基因密码子使用偏好性上起的作用比较小, 并且其在双子叶植物中的作用小于在单子叶植物中的作用。



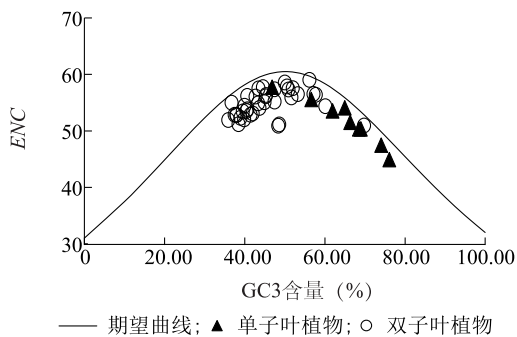
$Y_1$ : 单子叶植物 GC12 含量;  $x_1$ : 单子叶植物 GC3 含量;  $Y_2$ : 双子叶植物 GC12 含量;  $x_2$ : 双子叶植物 GC3 含量。GC12: 基因密码子第 1 位 G+C 和第 2 位 G+C 的平均; GC3: 基因密码子第 3 位的 G+C。

图 3 *FER* 基因密码子使用偏好性的中性绘图分析

Fig.3 Neutral plotting analysis on codon usage preference of *FER* genes

## 2.5 植物中 *FER* 基因密码子使用偏好性的 *ENC*-plot 分析

在 *ENC*-plot 绘图分析中,如果密码子使用偏好性仅受 GC3 密码子组成影响而非受选择效应的影响,那么所有基因都会分布在期望曲线上<sup>[4,7]</sup>。从图 4 可以看出,所有基因都分布在期望曲线以下的区域,绝大多数单子叶植物的 GC3 含量为 50.00%~80.00%,而绝大多数双子叶植物的 GC3 含量为 30.00%~60.00%,2 种植物类型的 GC3 含量分布范围都很窄。以上结果说明,*FER* 基因密码子使用偏好性主要是由进化过程中的自然选择引起的。



*ENC*:有效密码子数;GC3:基因密码子第3位的 G+C。

图 4 *FERONIA* 基因密码子使用偏好性的 *ENC*-plot 分析

Fig.4 *ENC*-plot analysis on codon usage preference of *FERONIA* genes

## 2.6 植物中 *FER* 基因的聚类分析

由系统进化树(图 5)可以看出,9 种单子叶植物聚在一起;在双子叶植物中,蔷薇科中的 4 种植物聚在一起,豆科植物(除荚蒾苜蓿)聚在 1 个分支上,茄科植物(除烟草)聚在 1 个分支上。此外,大戟科植物在系统进化树上分布得比较分散。总体上来看,基于 CDS 的系统进化分析结果与人们对植物分类的传统认知较一致。

基于 *RSCU* 的聚类分析结果(图 6)显示,双子叶植物中的茄科、豆科、十字花科和大戟科植物分别聚为 1 类,而单子叶植物却聚成不同的 2 类。尤其需要注意的是,单子叶植物和大戟科植物的聚类结果与基于 CDS 的系统进化树结果不同。植物学分类地位不同的植物反而聚在一起,可能与不同物种在 *FER* 基因的使用模式上趋于一致有关。

## 3 讨论

本研究结果显示:单子叶植物中 *FER* 基因的

GC3 含量均值为 64.91%,而双子叶植物中 *FER* 基因的 GC3 含量均值为 45.82%;单子叶植物偏好使用以 G/C 结尾的密码子,而双子叶植物偏好使用以 A/T 结尾的密码子,与 Wang 等<sup>[25]</sup>对 5 种单子叶植物和 6 种双子叶植物转录组的研究结果一致。*FER* 基因会参与植物生长发育、激素应答反应和环境胁迫反应等生命过程<sup>[19,26]</sup>。*ENC* 在单子叶植物和双子叶植物中都较高,说明在 2 种植物的植物中,*FER* 基因的密码子使用偏好性不强,这可能与 *FER* 基因功能的保守性相关。*CAI* 是衡量基因表达水平的重要指标<sup>[27]</sup>,在本研究中,单子叶植物和双子叶植物中的 *CAI* 都较低,可能与 *FER* 不是管家基因且只在特定时期或特定组织中表达有关。

已有的关于茄属植物叶绿体基因组密码子的研究发现,碱基组成是影响密码子使用偏好性的重要因素之一<sup>[8]</sup>。G+C 碱基含量和位置是影响密码子使用偏好性的主要因素,这也在植物 *CaMI* 基因的研究中得到证实<sup>[24]</sup>。关于非禾本科单子叶植物的研究结果显示,G、C 偏好的基因转换(gBGC)被认为是造成密码子使用偏好性差异和核苷酸组成差异的主要因素<sup>[7]</sup>。以上研究结果显示,在影响密码子使用偏好性的各因素中,碱基组成是重要因素。本研究结果也揭示,碱基组成是影响植物 *FER* 基因密码子使用偏好性的重要因素,但是在单子叶植物和双子叶植物中,*FER* 基因密码子的碱基组成差异显著,对 G、C 的偏好性现象可能在单子叶植物中广泛存在。

植物在长期进化过程中所形成的密码子使用偏好性,取决于突变压力、自然选择的作用强度和方向<sup>[25]</sup>。本研究中的 PR2-plot 分析结果也证实,突变压力和自然选择可能影响植物 *FER* 基因密码子使用偏好性。中性绘图结果显示,突变在 *FER* 基因密码子使用偏好性上的作用很小。*ENC*-plot 分析结果表明,自然选择才是形成 *FER* 基因密码子使用偏好性的主要因素。本研究结果与形成人类密码子使用偏好性的原因主要是突变不同<sup>[28]</sup>,而与酵母<sup>[29]</sup>、线虫<sup>[30]</sup>等物种的密码子使用偏好性形成模式受自然选择作用主导类似。此外,自然选择还可通过影响蛋白质翻译的速度和准确性来起作用<sup>[25]</sup>。一般来说,亲缘关系越近的物种,其密码子使用偏好性越趋于一致。但是由于某些基因具有特殊的密码子使用偏好性,使得聚类结果并不能真实反映亲缘关系和分类地位<sup>[27]</sup>。本研究发现,基于 CDS 的聚类



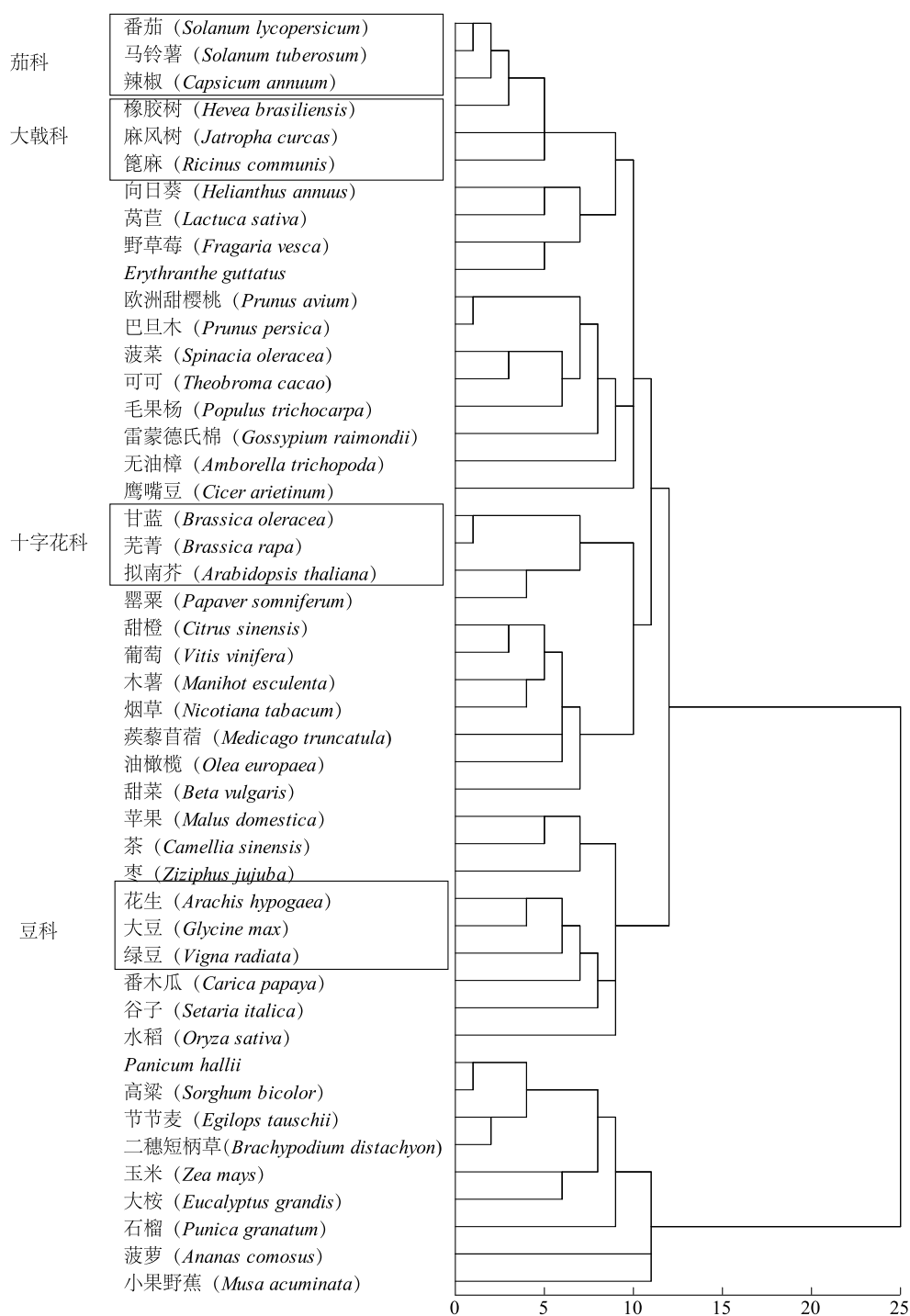


图6 基于同义密码子相对使用度(RSCU)的聚类分析

Fig.6 Cluster analysis based on relative synonymous codon usage (RSCU)

结果,而在较大的分类单元中只能作为传统分类的补充有关<sup>[27]</sup>。进一步研究发现,要想对物种的进化关系进行更为准确的描述,需要对不同分析方法得出的结果进行综合分析。

本研究通过生物信息学方法对植物 *FER* 基因

密码子使用偏好性特性进行分析,可为进一步挖掘 *FER* 基因功能和基因表达调控研究奠定基础。

#### 参考文献:

- [1] HERSHBERG R, PETROV D A. Selection on codon bias[J]. An-

- nual Review of Genetics, 2008, 42: 287-299.
- [2] PLOTKIN J B, KUDLA G. Synonymous but not the same; the causes and consequences of codon bias[J]. Nature Reviews Genetics, 2011, 12(1): 32-42.
- [3] CHIAPELLO H, LISACEK F, CABOCHE M, et al. Codon usage and gene function are related in sequences of *Arabidopsis thaliana* [J]. Gene, 1998, 209(1/2): GC1-GC38.
- [4] WRIGHT F. The effective number of codons used in a gene[J]. Gene, 1990, 87(1): 23-29.
- [5] BULMER M. The selection-mutation-drift theory of synonymous codon usage[J]. Genetics, 1991, 129(3): 897-907.
- [6] SUEOKA N. Directional mutation pressure and neutral molecular evolution[J]. Proceedings of the National Academy of Sciences of the United States of America, 1988, 85(8): 2653-2657.
- [7] MAZUMDAR P, BINTI O R Y, MEBUS K, et al. Codon usage and codon pair patterns in non-grass monocot genomes[J]. Annals of Botany, 2017, 120(6): 893-909.
- [8] ZHANG R Z, ZHANG L, WANG W, et al. Differences in codon usage bias between photosynthesis-related genes and genetic system-related genes of chloroplast genomes in cultivated and wild *Solanum* species [J]. International Journal of Molecular Sciences, 2018, 19: 3142.
- [9] SONG H, LIU J, CHEN T, et al. Synonymous codon usage pattern in model legume *Medicago truncatula* [J]. Journal of Integrative Agriculture, 2018, 17(9): 2074-2081.
- [10] 尚明照,刘 方,华金平,等. 陆地棉叶绿体基因组密码子使用偏性的分析[J]. 中国农业科学, 2011, 44(2): 245-253.
- [11] 续 晨,蔡小宁,钱保俐,等. 葡萄基因组密码子使用偏好模式研究[J]. 西北植物学报, 2012, 32(2): 409-415.
- [12] HE W, WANG N N, TAN J M, et al. Comprehensive codon usage analysis of porcine deltacoronavirus [J]. Molecular Phylogenetics and Evolution, 2019, 141: 106618.
- [13] ESCOBAR-RESTREPO J M, HUCK N, KESSLER S, et al. The FERONIA receptor-like kinase mediates male-female interactions during pollen tube reception [J]. Science, 2007, 317(5838): 656-660.
- [14] ROTMAN N, ROZIER F, BOAVIDA L C, et al. Female control of male gamete delivery during fertilization in *Arabidopsis thaliana* [J]. Current Biology, 2003, 13(5): 432-436.
- [15] HUCK N, MOORE J M, FEDERER M, et al. The *Arabidopsis* mutant *feronia* disrupts the female gametophytic control of pollen tube reception [J]. Development, 2003, 130(10): 2149-2159.
- [16] YU F, QIAN L C, NIBAU C, et al. FERONIA receptor kinase pathway suppresses abscisic acid signaling in *Arabidopsis* by activating ABI2 phosphatase [J]. Proceedings of the National Academy of Sciences of the United States of America, 2012, 109(36): 14693-14698.
- [17] KANAOKA M M, TORII K U. FERONIA as an upstream receptor kinase for polar cell growth in plants [J]. Proceedings of the National Academy of Sciences of the United States of America, 2010, 107(41): 17461-17462.
- [18] DESLAURIERS S D, LARSEN P B. FERONIA is a key modulator of brassinosteroid and ethylene responsiveness in *Arabidopsis* hypocotyls [J]. Molecular Plant, 2010, 3(3): 626-640.
- [19] YU F, LI J, HUANG Y, et al. FERONIA receptor kinase controls seed size in *Arabidopsis thaliana* [J]. Molecular Plant, 2014, 7(5): 920-922.
- [20] SHIH H W, MILLER N D, CHENG D, et al. The receptor-like kinase FERONIA is required for mechanical signal transduction in *Arabidopsis* seedlings [J]. Current Biology, 2014, 24(16): 1887-1892.
- [21] KESSLER S A, SHIMOSATO-ASANO H, KEINATH N F, et al. Conserved molecular components for pollen tube reception and fungal invasion [J]. Science, 2010, 330(6006): 968-971.
- [22] 张欣悦,李佳婷,邹 婷,等. 花生响应干旱胁迫的 FERONIA 类受体蛋白激酶基因克隆与表达分析 [J]. 植物生理学报, 2018, 54(2): 297-304.
- [23] 王凉洁,秦云霞,罗红丽. 巴西橡胶树 FERONIA 类受体激酶基因 (*HbFER*) 的克隆及表达分析 [J]. 热带作物学报, 2014, 35(7): 1347-1353.
- [24] 李晨辉,赵子捷,陈文烨,等. 43 种植物 *CaMI* 基因密码子使用特征及遗传差异分析 [J]. 江苏农业科学, 2019, 47(5): 28-32.
- [25] WANG L J, ROOSSINCK M J. Comparative analysis of expressed sequences reveals a conserved pattern of optimal codon usage in plants [J]. Plant Molecular Biology, 2006, 61(4/5): 699-710.
- [26] YU F, TIAN W, LUAN S. From receptor-like kinases to calcium spikes; what are the missing links? [J]. Molecular Plant, 2014, 7(10): 1501-1504.
- [27] 赵春丽,彭丽云,王 晓,等. 苋菜 *AtGAI* 基因密码子偏好性与进化分析 [J]. 中国农业大学学报, 2019, 24(12): 10-22.
- [28] SUEOKA N, KAWANISHI Y. DNA G+C content of the third codon position and codon usage biases of human genes [J]. Gene, 2000, 261(1): 53-62.
- [29] COGHLAN A, WOLFE K H. Relationship of codon bias to mRNA concentration and protein length in *Saccharomyces cerevisiae* [J]. Yeast, 2000, 16(12): 1131-1145.
- [30] DURET L, MOUCHIROUD D. Expression pattern and, surprisingly, gene length shape codon usage in *Caenorhabditis*, *Drosophila*, and *Arabidopsis* [J]. Proceedings of the National Academy of Sciences of the United States of America, 1999, 96: 4482-4487.
- [31] 孙继峰,韩太利,徐立功,等. 萝卜 *ICE1* 密码子使用偏性分析 [J]. 核农学报, 2018, 32(3): 477-485.

(责任编辑:徐 艳)